

京大防災研 正会員 土屋義人
 " " " 山口正隆

1. 緒言　近年、海岸構造物の計画・設計に波の不規則性を取り扱うための各種の方式が試みられており、こうした設計法の確立のためには、海面の運動特性の詳細とごく正確に把握する必要がある。海面の運動特性を表わす指標として、有義波高や有義波周期などのような水位変動の極値に関連した統計量のほか、標準偏差、歪度および尖鋸度などにパワースペクトルなど水位変動のものに關係する諸量が用いられてる。こうした種々の統計量間の關係は海面正線型定常確率過程として扱かれており、Longuet-Higgins の理論によりある程度知ることが可能けれども、現実の海面の運動は理論で仮定した平均値と標準偏差によらず規定されるGauss分布とは異なり、より高次のモーメント（たとえば尖鋸度や歪度など）をもつてゐることが示されてる。しかし、これらの相互の關係についてはほとんど知られてない。本研究は、風洞水槽内で発生させた風波および大西洋海岸における容量式波高計による観測した現地波浪についての統計量相互の關係を検討したものである。

2. 実験方法および解析方法　実験に用いた水槽は、宇治川水理実験所にある循環式風洞水槽である。実験は循環式風洞水槽とした場合について行ない、風速および風波の水位変動をそれぞれ数台の小型プロペラ式風速計および電気抵抗線式水位計により測定した。記録　表-1 実験条件の解析にあたっては、送風機の回転数が400 r.p.m.以下の場合には $\Delta t = 0.04$ sec (倍数1800), 450 r.p.m.以上の場合には $\Delta t = 0.08$ sec (1500) でA-D变换したのち、上述の統計量およびパワースペクトルを計算した。解析記録に含まれる波数は110～160波であった。実験条件を表-1に示す。まず、今回の実験に用いた風波は、いかにも非定常波浪であるが、解析には十分長時間風を吹送させた擬似定常状態のものを用いた。

3. 水位変動の統計的特性　図-1はゼロ・アップ・クロス法で定義した各種平均波高間の關係についてLonguet-Higgins による理論値と比較したものである。従来から確かめられて来たように、これら平均波高間の關係は理論値とよく一致しており、波高分布がほぼRayleigh分布するといふが認められる。しかし、この図によれば、波高の増大について理論値とのへたりが若干現われてゐる。こうした傾向はいくつかの風洞水槽による実験にも見られ、この実験室風波の特徴と考えられるが、また、使用した風波の波形こう配がかなり大きいところ、この原因の一部は波の非線型性の強弱によるとも考えられる。一方、周期に関するものは理論的裏付けはないが、合田らによつて報告された名古屋港の觀測結果と比較的よく一致した。図-2は、各種平均波高と水位変動の標準偏差との關係について理論値と比較したものであり、これら両者の關係は標準偏差の値の大きい場合の H_{10} との關係を除き、かなり大きい波高まで理論値とよく一致している。図-1とくにいずれも線型理論によるものであるから、これらの結果は矛盾してゐるようと思われるが、いずれにせよ、

hcm	Um/sec
60	5.7
55	5.5
50	5.7
45	5.5
40	5.5
35	4.9
30	5.3
25	5.1
20	5.0
p.m.	300 350 400 450 500 550

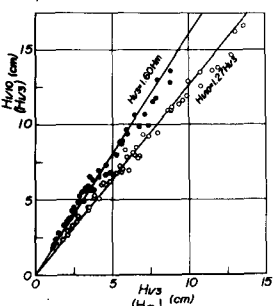


図-1 平均波高間の關係

この関係によれば、 σ の値から各種平均波高さを算り精度よく推定することができる。つぎに、発生風波のパワースペクトルの一例を示したもののが図-3である。図中にはPhillips式より与えられた f^3 則も示してある。風速の増大につれて、風波のスペクトルが飛躍していくことは当然のこととしても、一般に実際の多くの観測ではスペクトルの高周波側において f^3 則が成立する事が確認されている。一方、風洞水槽の風波ではそのこう配が若干急に変化するようである。図-4は、スペクトルのピーク周波数と有義波周期の関係を示すものであるが、これら相互の関係はDerbyshireが北大西洋で記録した数多くの嵐の波から得た関係 $T_{1/3} = 1.14 T_{fp}$ より少し異なり、 $T_{fp} \approx 1.07 T_{1/3}$ 程度である。図-5は迷風機回転数による風速および波の特性の変化の一例を示したものである。図から当然のことながら、風速の増大とともに波高、周期が増大していく。図-4 T_{fp}とT_{1/3}の関係、3の上に加えて、波高の増大とともに、尖鉛度は減少し、歪度はいくつとも増加していくのが減少していくのは興味深い。この歪度の傾向は必ずしも一般的ではないが、しばしば見られた。図-6および7は尖鉛度および歪度の有義波の波形こう配による変化を示したものである。尖鉛度および歪度の値は正規分布の場合、X₁とされ、 $\beta_2 = 3$ 、 $\sqrt{\beta_1} = 0$ であり、前者は簡単にはいえば波高のRayleigh分布からのへたたりを、後者は水位変動の上下の非対称性、すなわち波の非線型性を示す指標と考えられる。図-6によれば、尖鉛度の値は、 $\beta_2 = 3$ のまわりにばらついており、両者の相関性が見られないが、詳細に検討すれば、一度増加したのち減少する傾向があるが見える。 $\beta_2 > 3$ は水位変動の分布したがって波高の分布が平均値のまわりに集中することを意味しており、また $\beta_2 < 3$ は一部には碎波や風などの影響で波高の分布がまわりに広く分布していると考えられ、いずれにせよ、このことが図-1の傾向をある程度説明するようと思われる。一方、図-7によれば、波形こう配の増加とともに歪度の値が増大するのは明らかである。一方、歪度は波の非線型性を示すよい指標であることがわかる。以上の議論ではスペクトルの幅については考慮していないし、また資料のばらつきも大きいので、今後、より精度の高い資料を得て検討を行ないたい。

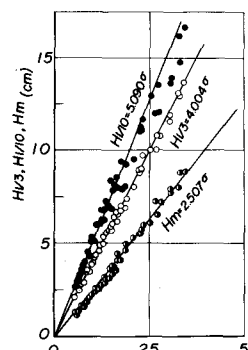


図-2 $H_{1/3}$ と σ の関係

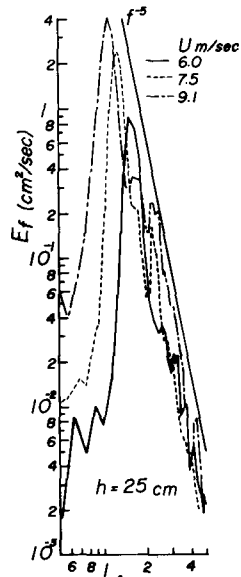


図-3 スペクトルの一例

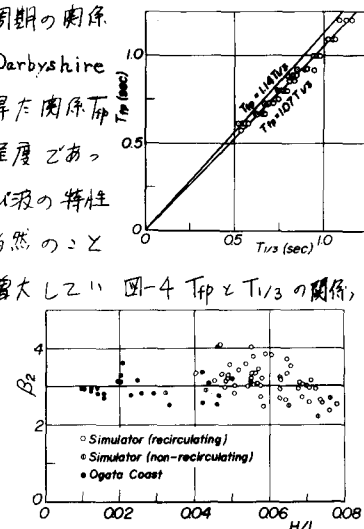


図-4 T_{fp} と $T_{1/3}$ の関係

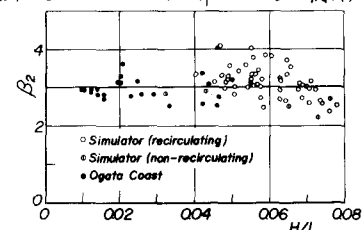


図-5 迷風機回転数による風速および波高の変化

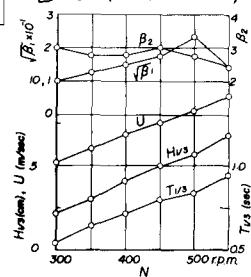


図-6 尖鉛度と波形こう配の関係

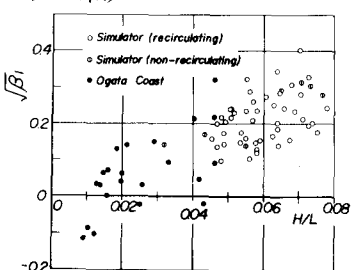


図-7 歪度と波形こう配の関係